

СОДЕРЖАНИЕ

1 Умножение матриц по Винограду	3
2 Умножение матриц по Штрассену	5
3 Классификация параллельных вычислительных систем по Флинну, модели представления параллельных алгоритмов	7
4 Модели вычислительных процессов	11
5 Сети, сети Петри (определения, формализм, примеры)	14
6 Автоматическое распараллеливание ациклических фрагментов последовательных программ, построение стандартного графа и графа зависимостей	16
7 Автоматическое распараллеливание ациклических фрагментов последовательных программ, построение ЯПФ и параллельного алгоритма по стандартному графу и графу зависимостей. Формализм определения функции «с»	18
8 Распараллеливание циклических фрагментов программ (пространство итераций, ускорение, метод пирамид)	19
9 Распараллеливание циклических фрагментов программ (пространство итераций, ускорение, метод параллелепипедов)	21
10 Выражение произведения матриц через операции saxpy, gaxpy и модификацию внешним произведением	25
11 Векторные алгоритмы gaxpy для симметричных и ленточных матриц.	26
12 Метод циклической редукции	27
13 Систолический алгоритм гахру на процессорном кольце с декомпозицией матрицы на блочные строки	30
14 Систолический алгоритм гахру на процессорном кольце с декомпозицией матрицы на блочные столбцы	31

15 Столбцово-ориентированные алгоритмы умножения матриц на кольце	33
16 Строчно-ориентированные алгоритмы умножения матриц на кольце ..	35
17 Систолический алгоритм умножения матриц на торе	37
18 Векторные и блочные алгоритмы решения треугольных СЛАУ	39
19 Векторные алгоритмы LU-разложения на основе операции модификации матрицы внешним произведением	40
20 Гахру варианты LU-разложения.....	43
21 Блочные алгоритмы LU-разложения	45
22 Векторные алгоритмы разложения Холецкого на основе операции модификации матрицы внешним произведением	48
23 Гахру варианты разложения Холецкого	49
24 Блочные алгоритмы разложения Холецкого	50
25 Алгоритм LU-разложения на процессорном кольце.....	52
26 Алгоритм разложения Холецкого на процессорном кольце.....	53
27 Алгоритм разложения Холецкого на процессорной решетке	55
28 Алгоритм LU-разложения на процессорной решетке.....	57

1 Умножение матриц по Винограду

Наивный алгоритм перемножения матриц требует $O(n^3)$ операций.

Алгоритм Штрассена улучшает асимптотику до $O(n^{2.807355})$. Алгоритм Коммерсита-Винограда работает за $O(n^{2.375477})$, но на практике не используется из-за очень большой скрытой константы. На лекциях рассказывался небольшой лайфхак, который все равно работает за куб, но немного по другому.

В обычном алгоритме перемножения матриц элемент считается как

$$c_{ij} = \left(\begin{array}{cccc} a_{i1} & a_{i2} & \dots & a_{iN} \end{array} \right) \left(\begin{array}{c} b_{1i} \\ b_{2i} \\ \dots \\ b_{Ni} \end{array} \right) = \sum_{k=1}^N a_{ik} b_{kj}, \quad (1.1)$$

То есть всего мы сделаем N^3 умножений и $N^3 - N^2$ сложений.

Однако можно заметить, что

$$c_{ij} = \sum_{k=1}^{N/2} (a_{i,2k-1} + b_{2k,j})(a_{i,2k} + b_{2k-1,j}) - \sum_{k=1}^{N/2} a_{i,2k-1} a_{i,2k} - \sum_{k=1}^{N/2} b_{2k-1,j} b_{2k,j}. \quad (1.2)$$

Второе и третье слагаемое можно предпосчитать и потом много раз использовать. То есть всего умножений и сложений будет

$$\frac{1}{2} N^3 + N^2 \quad (1.3)$$

и

$$\frac{3}{2} N^3 + 2N^2 - 2N \quad (1.4)$$

соответственно (конкретные чиселки зависят от того, что мы считаем сложением, лучше в коде везде раскидать комментарии, сколько где производится операций). Это немного веселее, чем в обычном алгоритме, потому что сложение дешевле, чем умножение. Приведем сам код

```

// предпосчет второго слагаемого
for i = 1:N
    row(i) = A(i, 1) * A(i, 2)
    for k = 2:N/2
        row(i) = row(i) + A(i, 2*k-1) * A(i, 2*k)
    end
end

// предпосчет третьего слагаемого
for j = 1:N
    col(j) = B(1, j) * B(2, j)
    for k = 2:N/2
        col(j) = col(j) + B(2*k-1, j) * B(2*k, j)
    end
end

// само перемножение
for i = 1:N
    for j = 1:N
        C(i, j) = -row(i) - col(j)
        for k = 1:N/2
            C(i, j) = C(i, j) + (A(i, 2 * k - 1) + B(2 * k, j)) *
(A(i, 2 * k) + B(2 * k - 1, j))
        end
    end
end
// если размерность матрицы нечетная, то надо не забыть
последние столбец/строку
if N % 2 == 1 then
    for i = 1:N
        for j = 1:N
            C(i, j) = C(i, j) + A(i, N) * B(N, j)
        end
    end
end

```

2 Умножение матриц по Штрассену

$$C = AB, \quad A, B, C \in \mathbb{R}^{2^n \times 2^n}$$

Если размер не степень двойки, то можно дополнить нулевыми строками/столбцами.

Разделим каждую из матриц на 4 одинаковых блока

$$A = \begin{pmatrix} A_{11} & A_{12} \\ A_{21} & A_{22} \end{pmatrix} \quad B = \begin{pmatrix} B_{11} & B_{12} \\ B_{21} & B_{22} \end{pmatrix} \quad C = \begin{pmatrix} C_{11} & C_{12} \\ C_{21} & C_{22} \end{pmatrix} \quad (1.5)$$

$$\text{где } A_{ij}, B_{ij}, C_{ij} \in \mathbb{R}^{2^{n-1} \times 2^{n-1}}$$

Тогда С выражается как

$$\begin{aligned} C_{11} &= A_{11}B_{11} + A_{12}B_{21} \\ C_{12} &= A_{11}B_{12} + A_{12}B_{22} \\ C_{21} &= A_{21}B_{11} + A_{22}B_{21} \\ C_{22} &= A_{21}B_{12} + A_{22}B_{22} \end{aligned} \quad (1.6)$$

Как и в обычном методе, требуется 8 умножений. Однако можно перевыразить все по-другому, определив сначала новые элементы:

$$\begin{aligned} P_1 &= (A_{11} + A_{22})(B_{11} + B_{22}) \\ P_2 &= (A_{21} + A_{22})B_{11} \\ P_3 &= A_{11}(B_{12} + B_{22}) \\ P_4 &= A_{22}(B_{21} - B_{11}) \\ P_5 &= (A_{11} + A_{12})B_{22} \\ P_6 &= (A_{21} - A_{11})(B_{11} + B_{12}) \\ P_7 &= (A_{12} - A_{22})(B_{21} + B_{22}) \end{aligned} \quad (1.7)$$

А потом выразив

$$\begin{aligned}
 C_{11} &= P_1 + P_4 - P_5 + P_7 \\
 C_{12} &= P_3 + P_5 \\
 C_{21} &= P_2 + P_4 \\
 C_{22} &= P_1 - P_2 + P_3 + P_6
 \end{aligned} \tag{1.8}$$

Заметим, что таким образом нам требуется 7 умножений, а не 8. Более того, такой подход позволяет рекурсивно считать подматрицы, что хорошо прогаивается. Обычно такой подход продолжают до размеров матриц около 32-128, а потом используют наивный алгоритм, потому что данный метод теряет свою эффективность из-за большего числа сложений, чем обычный.

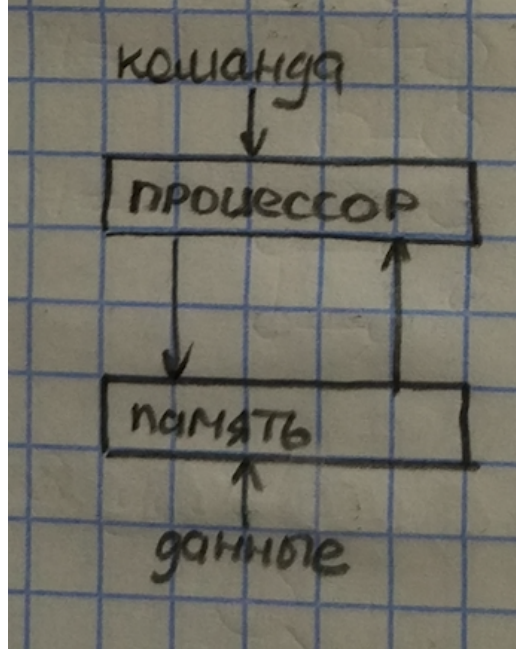
3 Классификация параллельных вычислительных систем по Флинну, модели представления параллельных алгоритмов

Вычисления **синхронные**, если вычислительный процесс определяется потоком команд.

Вычисления **асинхронные**, если вычислительный процесс определяется потоком данных.

	Один поток данных	Много потоков данных
Один поток команд	SISD Модель Неймана	SIMD Векторный процессор
Много потоков команд	MISD Конвейерный процессор	MIMD Многопроцессорная ЭВМ

3.1 SISD



Модель фон Неймана:

- Действия последовательны
- Данные обрабатываются последовательно

3.2 SIMD



Векторные ЭВМ

- В N раз быстрее
- Ограничение: необходимость векторизации численного метода

3.3 MISD

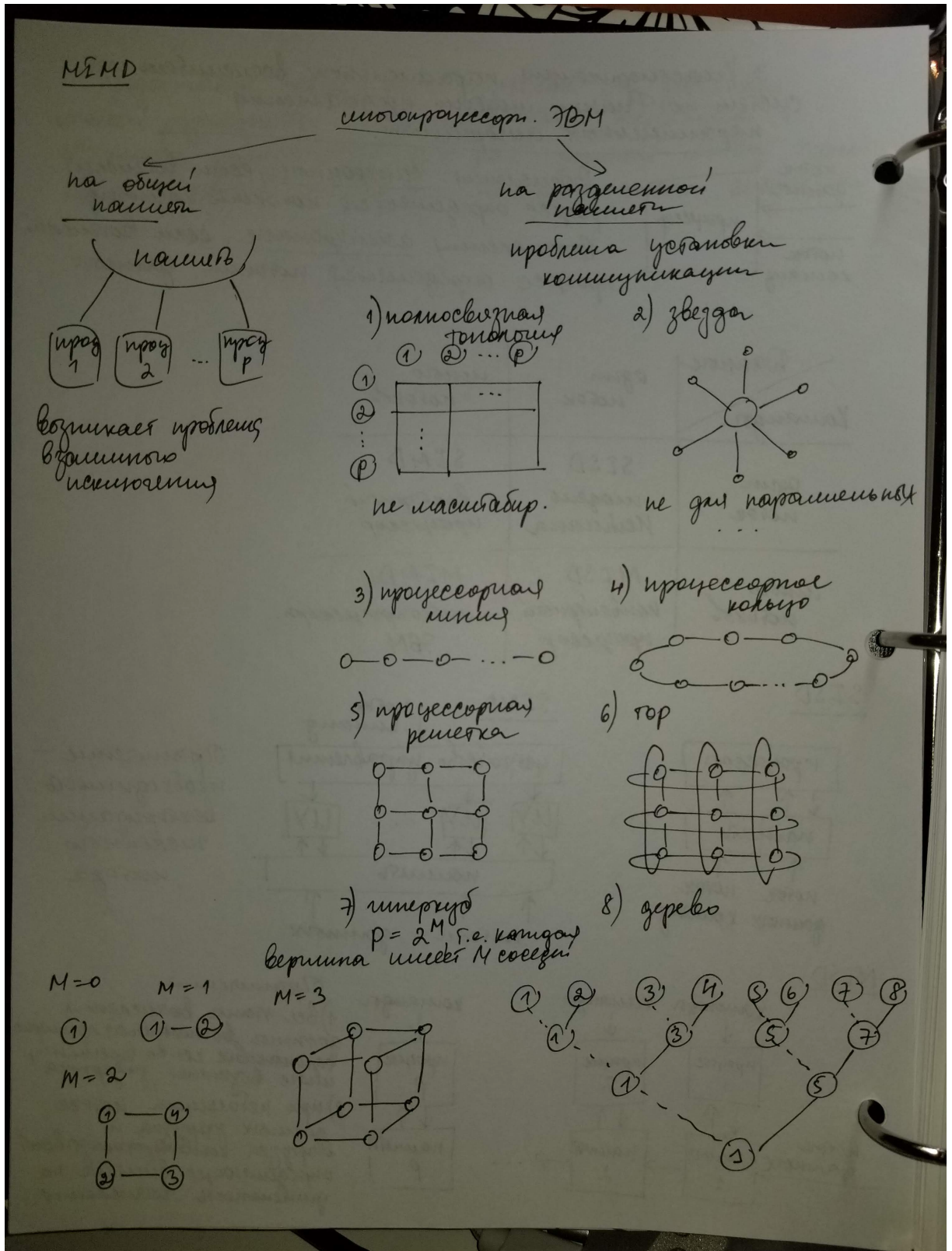


Конвейерный процессор. Конвейерный алгоритм предполагает разбиение задачи на подзадачи.

Ограничения:

- Все этапы вычисления должны выполняться примерно одинаковое количество времени, иначе возникнет задержка.
- При небольшом потоке данных загрузка и выгрузка конвейера оказывают определяющее влияние на длительность вычисления.

3.4 MIMD



3.5 Модели представления параллельных алгоритмов

Модель задача/канал

Задача — последовательный алгоритм и данные, необходимые для его реализации (кружочек)

Канал — указывает на коммуникации между задачами (однонаправленная стрелочка)

Коммуникация организуется по принципу «первый зашел, первый вышел». Во время вычислений задачи могут возникать и упраздняться.

Модель параллелизма данных

Ориентирована на производство векторных и матричных вычислений. Ее формализм совпадает с языком Matlab.

Модель общей памяти

Предыдущая модель дополняется операторами записи и чтения общей памяти, а также механизмами решения проблемы взаимного исключения (дедлок?).

4 Модели вычислительных процессов

Вычислительный процесс – совокупность действий для выполнения программы.

Два вычислительных процесса эквивалентны, если при одинаковых начальных данных они приводят к одному результату.

Параллельный вычислительный процесс характеризуется одновременным исполнением нескольких действий.

Пример:

$$L_1 : c = \log c$$

$$L_2 : d = \log b$$

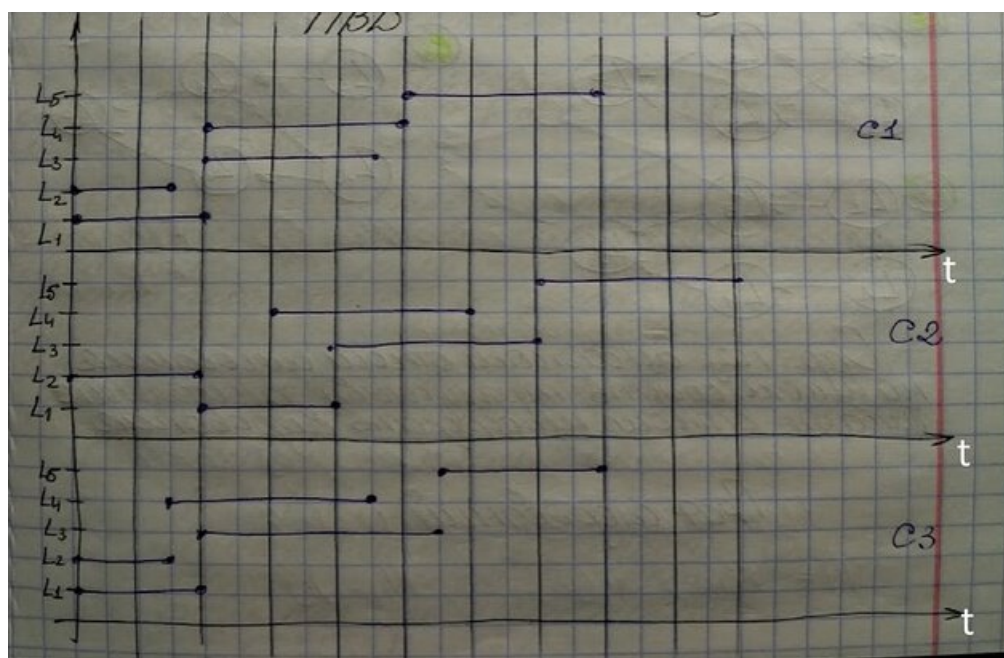
$$L_3 : e = c + d$$

$$L_4 : f = d \times d$$

$$L_5 : g = e / f$$

Эквивалентные вычислительные процессы, например: $L_1 L_2 L_4 L_3 L_5$,
 $L_2 L_1 L_3 L_4 L_5$, $L_2 L_1 L_4 L_3 L_5$.

4.1 Пространственно-временная диаграмма (ПВД)



ПВД – исчерпывающая информация о процессах, показывающая когда и сколько по времени выполнялась каждая команда.

4.2 Графическое представление вычислительных процессов

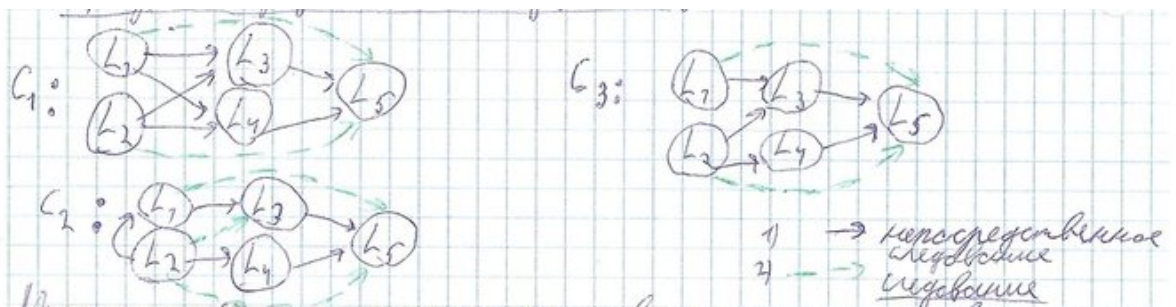
Поставим во взаимно однозначное соответствие любому оператору программы действие вычислительной системы по его исполнению, если таких действий несколько, примем их за одно.

На множество действий зададим бинарное отношение непосредственного следования.

Действие d_2 **непосредственно** следует за $d_1 : (d_1, d_2)$, если d_2 начинается сразу после окончания d_1 и нет действия d_3 , которое начинается после окончания d_1 и завершается перед началом d_2 .

Введем бинарное отношение **следования** как транзитивное замыкание отношения непосредственного следования.

Граф непосредственного следования:



Сравнению подлежат исключительно эквивалентные процессы.

Назовем **процесс C не менее параллельным**, чем C' , если для любой пары, связанной бинарным отношением следования (d_1, d_2) в C , верно, что в C' они также связаны бинарным отношением следования.

Из рисунка выше: C_3 не менее параллелен, чем C_1, C_2 .

Максимально параллельный процесс – процесс, не менее параллельный, чем все эквивалентные ему.

Две программы эквивалентны, если эквивалентны любые два вычислительных процесса ими порожденные.

Данная программа не менее параллельна, чем некоторая эквивалентная ей, если множество процессов, порожденное данной

программой, содержит в качестве подмножества множество процессов, порожденных другой программой.

Максимально параллельная программа – программа, не менее параллельная, чем все эквивалентные ей.

5 Сети, сети Петри (определения, формализм, примеры)

5.1 Определение сети

Сетью назовем три объекта: $N = (P, T, F)$, где

P – непустое конечное множество мест,

T – непустое конечное множество переходов,

F – функция инцидентности:

$$F : (P \times T \cup T \times P) \rightarrow \mathbb{N}_0.$$

5.2 Свойства сети

- $P \cap T = \emptyset$
- $\forall_{p \in P} \exists_{t \in T} : F(p, t) \neq 0 \vee F(t, p) \neq 0$
- $\forall_{t \in T} \exists_{p \in P} : F(t, p) \neq 0 \vee F(p, t) \neq 0$
- $\forall_{p_1, p_2 \in P} p_1^* = p_2^* \wedge p_1^{**} = p_2^{**} \Rightarrow p_1 = p_2$, где

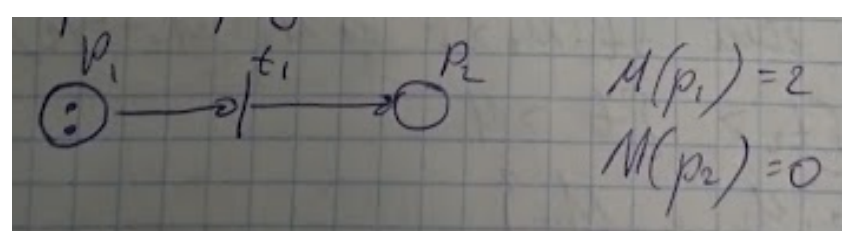
p^* – множество входных переходов $p : \{t : F(t, p) \neq 0\}$,

p^{**} – множество выходных переходов $p : \{t : F(p, t) \neq 0\}$,

5.3 Сети Петри

$PN = (P, T, F, M)$, где

M – функция разметки $M : P \rightarrow \mathbb{N}_0$



Условие срабатывания перехода: t может (но не должен) сработать, если $\forall_{p \in t^*} M(p) \geq F(p, t)$, где t^* – все места, из которых ведут стрелки в данном переходе.

Векторная функция $M \geq F^*$

$$\begin{pmatrix} M(p_1) \\ \vdots \\ M(p_n) \end{pmatrix} \geq \begin{pmatrix} F(p_1, t) \\ \vdots \\ F(p_n, t) \end{pmatrix}$$

Если t сработал, тогда $\forall_{p \in P}$ верно:

$$M'(p) = M(p) - F(p, t) + F(t, p)$$

Закона сохранения фишек нет (в результате перехода может измениться сумма количества фишек)

$$M' = M - F^*(t) + F^{**}(t)$$

Работа сети Петри в целом определяется множеством сработанных переходов t и множеством достижимых разметок RH .

Введем отношение непосредственного следования на M :

$$M_1[t > M_2, \text{ если } \exists_t : M_1 \geq F^* \wedge M_2 = M_1 - F^*(t) + F^{**}(t)]$$

$$M_1[t_1 > M_2[t_2 > \dots [t_{\dots} > M_{\dots}]]]$$

$$RH = \{M_1, M_2, \dots, M_{\dots}\}$$

6 Автоматическое распараллеливание ациклических фрагментов последовательных программ, построение стандартного графа и графа зависимостей

6.1 Построение стандартного графа

Очевидно, что любую последовательную программу можно записать с помощью лишь двух типов операторов: присваивание и условный переход.

По такой программе построим ориентированный граф, различая 2 типа его вершин: преобразователи \square (один или несколько операторов присваивания как один преобразователь) и распознаватель \bigcirc (один условный переход – один распознаватель).

Определяя функцию инцидентности, зададим на множестве операторов последовательной программы бинарное отношение непосредственного следования.

Таким образом из преобразователя выходит не более одной стрелки, а из распознавателя – не более двух соответствующих отношениям истинности и ложности проверяемого условия (1 и 0 соответственно).

Вершину, в которую не входит ни одна стрелка назовем входной, из которой не выходит ни одна стрелка – выходной.

Пример:

A: ввод(x, y)

B: $l = x$

C: $h = y$

D: $v = c + y$

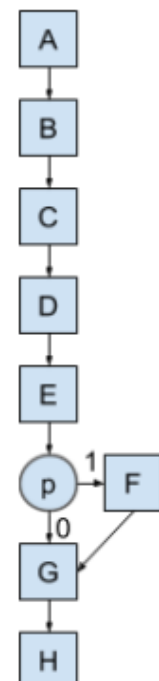
E: $z = c + x$

p: если $x > y$, то переходим на F, иначе – на G

F: $h = x, l = y$

G: распечатка A($\min(z, v), \max(z, v)$)

H: печать (l, h)



6.2 Построение графа зависимостей

Вершины этого графа совпадают с вершинами стандартного графа. А вот функция инцидентности строится на основе новых бинарных отношений и их транзитивного замыкания.

Рассмотрим бинарные отношения информационной зависимости (на множестве вершин).

Определение. Будем говорить, что вершина В информационно зависит от вершины А, если они расположены на одном пути стандартного графа из входной вершины в выходную (причем А предшествует В) и хотя бы один оператор вершины В использует, но не изменяет значения переменной, которая формулирует хотя бы один оператор из вершины А.

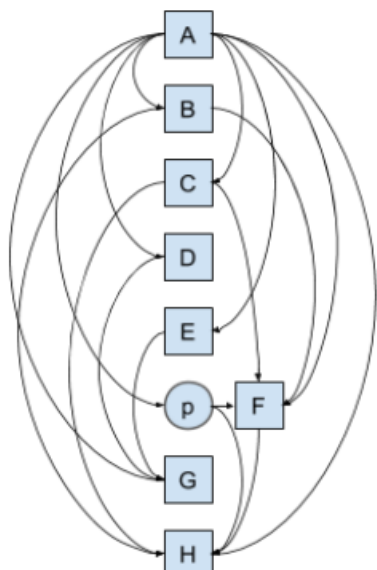
$$\text{Out}(A) \cap \text{In}(B) =/ \emptyset$$

Кроме того, на указанном пути между А и В отсутствует вершина С, хотя бы один оператор которой изменяет значение упомянутой переменной.

Определение. Будем говорить, что вершина В логически зависит от А, если А и В находятся на одном пути стандартного графа из входной вершины в выходную, причем А предшествует В и существует другой путь на стандартном графе из входной вершины в выходную, совпадающий с данным вплоть до вершины А, а далее от него отличающийся и не содержащий вершину В.

Определение. Будем говорить, что В конкуренционно (параллельно) зависит от А, если А и В находятся на одном пути стандартного графа из входной вершины в выходную, причем А предшествует В и есть хотя бы одна переменная, значение которой меняют операторы обеих вершин. $\text{Dep}(A, B)$ – В зависит от А.

Далее строится транзитивное замыкание всех зависимостей без разбора их типов.



7 Автоматическое распараллеливание ациклических фрагментов последовательных программ, построение ЯПФ и параллельного алгоритма по стандартному графу и графу зависимостей. Формализм определения функции «с»

8 Распараллеливание циклических фрагментов программ (пространство итераций, ускорение, метод пирамид)

8.1 Определения

```
for i_1 = 1 : n_1
    for i_2 = 1 : n_2
    ...
        for i_k = 1 : n_k
            T(i_1, i_2, ..., i_k)
```

Поставим во взаимно однозначное соответствие любой операции конструкции, приведенной выше, вектор:

$$I = \{(i_1, i_2, \dots, i_k) : 1 \leq i_q \leq n_q : 1 \leq q \leq k\}$$

Введем понятие **пространства итераций** – множество всех возможных векторов.

Цель: отыскание покрытия пространства I .

$$\{I_q\}_{q=1}^n, I = \bigcup_{q=1}^n I_q$$

Такое покрытие в большинстве случаев не единственno. Важная характеристика – в любом подмножестве I_q все вектора независимые.

Каждое покрытие пространства I и соответствующий параллельный алгоритм характеризуются следующей величиной:

$$S = \frac{\prod_{j=1}^k n_j}{n}, \text{ которая является ускорением, где } n \text{ – количество}$$

подмножеств в одном покрытии.

8.2 Метод пирамид

Шаг 1: На пространстве итераций выделим вектора, от которых не зависит ни один другой вектор данного пространства. Назовем их результирующими.

Шаг 2: Отнесем к каждой задаче вектора из пространства итераций, от которых зависит выделенный результирующий вектор.

Шаг 3: Упорядочим множества выделенных векторов в соответствии с бинарным отношением следования на пространстве итераций.

Характерные особенности метода пирамид:

1. Отсутствие метода коммуникаций
2. Платой за отсутствие коммуникаций является многократное дублирование вычислений

8.3 Пример

```
for i = 1 : r1
    for j = 1 : r2
        T(I, j)
```

Для данной циклической конструкции результирующими векторами являются вектора $p = \{(r1, j) : 1 \leq j \leq r2\}$, а вектора, от которых будет зависеть выбранный результирующий (помечен звездочкой на рисунке ниже), находятся в треугольнике между прямыми l и h . (Рисунок ниже в помощь).

Параллельный алгоритм будет состоять из $r2$ задач, k -ая задача ($k = 1:r2$) в цикле по i производит следующие действия:

```
for j = max{1, k-(r1-i)tg(α)} : min{r2, k+(r1-i)tg(β)}
    T(i, j),
```

$$\text{где } \tan(\alpha) = \frac{h_2}{h_1}, \quad \tan(\beta) = \frac{l_2}{l_1},$$

α – острый угол между осью i и прямой l ,

β – острый угол между осью i и прямой h .

Цикл по j пробегает все вектора с координатой i , лежащие внутри треугольника, ограниченного прямыми l и h .

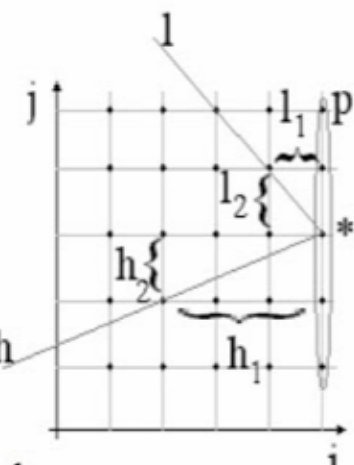


Рис. 1

9 Распараллеливание циклических фрагментов программ (пространство итераций, ускорение, метод параллелепипедов)

9.1 Распараллеливание циклических участков программ.

В большинстве алгоритмов для численных методов отношение числа операций, производящихся в циклах, к общему числу операций, близко к единице. Следовательно, можно рассматривать задачу распараллеливания циклических участков программ как весьма важную. Рассмотрим участок последовательной программы, состоящий из k вложенных циклов:

```
for i1 in range(n1):  
    for i2 in range(n2):  
        ...  
        for ik in range(nk):  
            T(i1, i2, ..., ik)  
T(i1, i2, ..., ik) - Тело цикла
```

Каждой итерации этой циклической конструкции поставим в соответствие целочисленный вектор (i_1, i_2, \dots, i_k) , $i_g = \overline{1, n_g}$, $g = \overline{1, k}$

Пространство итераций

$I = \{(i_1, i_2, \dots, i_k) : 1 \leq i_g \leq n_g, 1 \leq g \leq k\}$ состоит из таких векторов. Очевидно, между пространством итераций и множеством итераций циклической конструкции можно установить взаимно однозначное соответствие.

Наша задача - найти совокупность множеств $\{I_q\}_{i=\overline{1,s}}$ являющуюся покрытием пространства итераций $I = \bigcup_{q=1}^s I_q$, таких, что вектора каждого множества I_q независимы друг от друга.

Для определения отношения зависимости на пространстве итераций "развернем" циклическую конструкцию в ациклический фрагмент:

$T(1,1, \dots, 1); T(1,1, \dots, 2); \dots T(n_1, n_2, \dots, n_k)$
и построим для него граф зависимостей.

Если хотя бы две вершины такого графа, содержащие операторы из T' и T'' , окажутся в отношении зависимости, то назовем зависимыми и соответствующие T' и T'' вектора из I .

Итерации, связанные с векторами одного множества I_q , можно выполнять независимо друг от друга (параллельно). Каждое покрытие пространства I и соответствующий параллельный алгоритм характеризуется

$$\text{величиной } \chi = \frac{\prod_{j=1}^k n_j}{s} - \text{ускорением.}$$

Следует искать покрытие, обеспечивающее максимальное ускорение параллельного алгоритма.

9.2 Метод параллелепипедов

В методе параллелепипедов пространство итераций разбивается (в теоретико-множественном смысле) на параллелепипеды. За счет этого, в отличии от предыдущих методов, метод параллелепипедов позволяет параллелизовать простые циклы. Например, для программы

```
for i:=1 to 15 do x(i):=x(i-4);
```

пространство итераций будет одномерным (рис. 1.13), каждый вектор этого пространства будет зависеть от векторов, находящихся слева по оси i на расстоянии, кратном 4.

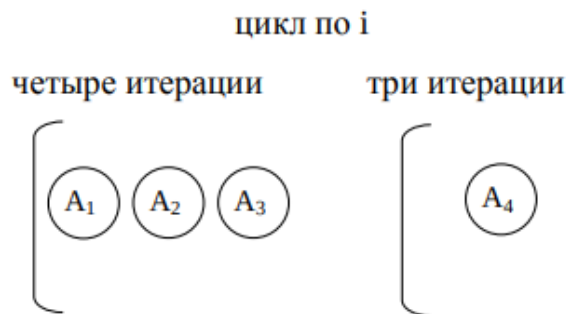
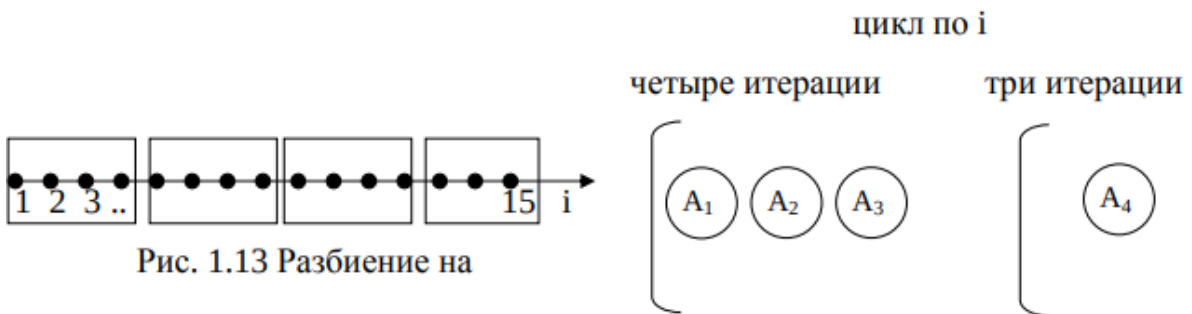


Рис.1.14. Модель параллельного алгоритма для параллелепипедов в случае простого цикла.

Между множеством векторов в параллелепипеде, содержащем наибольшее количество векторов, и задачами алгоритма установим биекцию. Тогда задач буде 4 (рис. 1.14). Задаче под номером k ($k=1,4$) поручим следующие вычисления:

```
for i:=k to 15 step 4 do x(i):=x(i-4);
```

Первые три задачи произведут по 4 итерации цикла, четвертая 3. Алгоритм не нуждается в синхронизациях и передачах сообщений, так как операторы, содержащиеся в каждой задаче, соответствуют векторам, зависящим только от векторов данной задачи.

Шаг 1: На пространстве итераций выделим покрытие, по которому характерное подмножество имеет вид параллелепипеда.

Шаг 2: На ребрах этого параллелепипеда выберем новые координатные оси, переобозначив в новой системе координат все вектора внутри данного параллелепипеда.

Шаг 3: Пусть вектор g имеет координаты (g_1, g_2, \dots, g_k) и длины ребер параллелепипеда есть (p_1, p_2, \dots, p_k) , тогда параллельный алгоритм для M-той задачи имеет вид:

```
for  $i_1 = g_1 : p_1 : n_1$ 
    for  $i_2 = g_2 : p_2 : n_2$ 
        ...
            for  $i_k = g_k : p_k : n_k$ 
                +коммуникации
```

Особенности:

1. В теле цикла параметры цикла могут входить только в линейные выражения
2. Может случиться, что покрытие обеспечивает лучшее ускорение с большим объемом коммуникаций, чем другое с меньшим ускорением, тогда их сравнение по ускорению не окончательно.

10 Выражение произведения матриц через операции saxpy, gaxpy и модификацию внешним произведением

11 Векторные алгоритмы гахру для симметричных и ленточных матриц

12 Метод циклической редукции

(блочная циклическая редукция из голуба)

Пусть есть система с матрицей специального вида, где

$$\begin{pmatrix} D & F & \cdots & 0 \\ F & D & F & \vdots \\ & F & D & F \\ \vdots & \ddots & \ddots & \ddots \\ 0 & \cdots & F & D \end{pmatrix} \begin{pmatrix} x_1 \\ \vdots \\ \vdots \\ x_n \end{pmatrix} = \begin{pmatrix} b_1 \\ \vdots \\ \vdots \\ b_n \end{pmatrix} \quad (2.1)$$

Также $DF = FD$, $n = 2^k - 1, k \in \mathbb{N}$.

В общем случае в результате одной итерации циклической редукции мы перейдем от $2^k - 1$ уравнений относительно переменных $D^{(p)}, F^{(p)}, b^{(p)}$ к новой системе из $2^{k-1} - 1$ уравнений относительно $D^{(p+1)}, F^{(p+1)}, b^{(p+1)}$ (далее в коде будет написано как именно) Будем так делать, пока у нас не останется одно уравнение относительно самого блока. Решим стандартным методом и начнем раскручивать всё назад.

Вычислим саму редукцию

```

for  $p = 1:k - 1$ 
   $D^{(p)} = 2[F^{(p-1)}]^2 - [D^{(p-1)}]^2$ 
   $F^{(p)} = [F^{(p-1)}]^2$ 
   $r = 2^p$ 
  for  $j = 1:2^{k-p} - 1$ 
     $b_{jr}^{(p)} = F^{(p-1)}(b_{jr-r/2}^{(p-1)} + b_{jr+r/2}^{(p-1)}) - D^{(p-1)}b_{jr}^{(p-1)}$ 
  end
end

```

А потом найдем иксы обратным ходом

Решить $D^{(k-1)}x_{2^{k-1}} = b_1^{(k-1)}$ относительно $x_{2^{k-1}}$.

```
for p = k - 2 : -1 : 0
    r = 2p
    for j = 1 : 2k-p-1
        if j = 1
            c = b_{(2j-1)r}^{(p)} - F^{(p)}x_{2jr}
        elseif j = 2k-p+1
            c = b_{(2j-1)r}^{(p)} - F^{(p)}x_{(2j-2)r}
        else
            c = b_{(2j-1)r}^{(p)} - F^{(p)}(x_{2jr} + x_{(2j-2)r})
        end
        Решить  $D^{(p)}x_{(2j-1)r} = c$  относительно  $x_{(2j-1)r}$ .
    end
end
```

(тут в коде где elseif должно быть 2^{k-p-1})

Плюсы: алгоритм масштабируем, максимальное количество одновременно задействованных процессоров — k.

Минусы: число коммуникаций — $O(\log n)$.

Наилучшим алгоритмом с независимым от размерности числом коммуникаций и масштабируемостью является метод диагонализации области.

Пример из голуба для n=7

Для понимания общей процедуры достаточно рассмотреть случай $n = 7$:

$$\begin{aligned}
 b_1 &= Dx_1 + Fx_2, \\
 b_2 &= Fx_1 + Dx_2 + Fx_3, \\
 b_3 &= \quad\quad\quad Fx_2 + Dx_3 + Fx_4, \\
 b_4 &= \quad\quad\quad\quad\quad Fx_3 + Dx_4 + Fx_5, \\
 b_5 &= \quad\quad\quad\quad\quad\quad Fx_4 + Dx_5 + Fx_6, \\
 b_6 &= \quad\quad\quad\quad\quad\quad\quad Fx_5 + Dx_6 + Fx_7, \\
 b_7 &= \quad\quad\quad\quad\quad\quad\quad\quad Fx_6 + Dx_7.
 \end{aligned} \tag{4.5.14}$$

Для $i = 2, 4$ и 6 мы умножим уравнения $i - 1$, i и $i + 1$ на матрицы F , $-D$ и F соответственно, и, складывая результат, получим

$$\begin{aligned}
 (2F^2 - D^2)x_2 + F^2 x_4 &= F(b_1 + b_3) - Db_2, \\
 F^2 x_2 + (2F^2 - D^2)x_4 + F^2 x_6 &= F(b_3 + b_5) - Db_4, \\
 F^2 x_4 + (2F^2 - D^2)x_6 &= F(b_5 + b_7) - Db_6.
 \end{aligned}$$

Таким образом, следуя этой тактике, мы удалим все x с нечетными индексами и у нас останется уменьшенная блочная трехдиагональная система вида

$$\begin{aligned}
 D^{(1)}x_2 + F^{(1)}x_4 &= b_2^{(1)}, \\
 F^{(1)}x_2 + D^{(1)}x_4 + F^{(1)}x_6 &= b_4^{(1)}, \\
 F^{(1)}x_4 + D^{(1)}x_6 &= b_6^{(1)}.
 \end{aligned}$$

где матрицы $D^{(1)} = 2F^2 - D^2$ и $F^{(1)} = F^2$ являются перестановочными. Применяя такую же стратегию исключения, как и выше, мы умножим эти три уравнения соответственно на $F^{(1)}$, $-D^{(1)}$ и $F^{(1)}$. Если эти преобразованные уравнения сложить вместе, мы получим простое уравнение

$$(2[F^{(1)}]^2 - D^{(1)2})x_4 = F^{(1)}(b_2^{(1)} + b_6^{(1)}) - D^{(1)}b_4^{(1)},$$

которое запишем в виде

$$D^{(2)}x_4 = b^{(2)}.$$

Это полная циклическая редукция. Мы решим эту (маленькую) систему $q \times q$ относительно x_4 . Векторы x_2 и x_6 находятся потом решением систем

$$D^{(1)}x_2 = b_2^{(1)} - F^{(1)}x_4, \quad D^{(1)}x_6 = b_6^{(1)} - F^{(1)}x_4.$$

В заключение мы используем первое, третье, пятое и седьмое уравнения из (4.5.14) для вычисления x_1 , x_3 , x_5 и x_7 соответственно.

13 Систолический алгоритм гахру на процессорном кольце с декомпозицией матрицы на блочные строки

Gaxpy:

$$z = Ax + y,$$

Где $z \in R^{n \times 1}, x \in R^{n \times 1}, y \in R^{n \times 1}, A \in R^{n \times n}$.

Матрица хранится по блочным строкам. Пусть количество процессоров равно p . Тогда гахру можно записать:

$$\begin{pmatrix} z_1 \\ z_2 \\ \dots \\ z_p \end{pmatrix} = \begin{pmatrix} \overline{A_{11} A_{12} \dots A_{1p}} \\ \overline{A_{21} A_{22} \dots A_{2p}} \\ \dots \\ \overline{A_{p1} A_{p2} \dots A_{pp}} \end{pmatrix} \begin{pmatrix} x_1 \\ x_2 \\ \dots \\ x_p \end{pmatrix} + \begin{pmatrix} y_1 \\ y_2 \\ \dots \\ y_p \end{pmatrix}$$

Процессор с номером μ ($1 \leq \mu \leq p$) Вычисляет блок z_μ .

$$z_\mu = \sum_{k=1}^p A_{\mu k} x_k + y_\mu$$

μ – ю блочную строку матрицы A можно хранить в памяти μ – го процессора. Тогда элементы матрицы A не передаются по сети. Аналогично можно поступить с μ – м блоком y .

Алгоритм.

Инициализация $\{\mu$ – номер процессора ; p – количество процессоров ; $r = \frac{n}{p}$; $row = (\mu - 1)r + 1 : \mu r$; $y_{loc} = y(row)$; $A_{loc} = A(row, :)$; $left, right$; $x_{loc} = x(row)\}$

```

for t = 1 : p
    send(xloc, right)
    recv(xloc, left)
    τ = μ - t
    if τ ≤ 0
        τ = τ + p
    endif
    yloc = yloc + Aloc(:, (τ - 1)r + 1 : τr)xloc
endfor

```

14 Систолический алгоритм gaxpy на процессорном кольце с декомпозицией матрицы на блочные столбцы

Gaxpy:

$$z = Ax + b$$

Систолический алгоритм характеризуется строгой последовательностью. Все действия производятся в цикле для синхронизации ???

В начале цикла выполняют отправки:

```
for t = 1 : T
    send(...)
    recv(...)

    ...
end
```

Пусть A распределена по блочным столбцам:

$$\begin{pmatrix} z_1 \\ z_2 \\ \vdots \\ z_p \end{pmatrix} = \left(\begin{array}{c|c|c|c} A_1 & A_2 & \cdots & A_p \end{array} \right) \begin{pmatrix} x_1 \\ x_2 \\ \vdots \\ x_p \end{pmatrix} + \begin{pmatrix} y_1 \\ y_2 \\ \vdots \\ y_p \end{pmatrix}$$

В основе алгоритма линейная комбинация блочных столбцов:

$$z = \sum_{k=1}^p A_k x_k + y$$

Пусть

$$\omega_\mu = A_\mu x_\mu$$

$$z_\mu = \sum_{k=1}^p \omega_k (col) + y_\mu = \sum_{k=1}^p \omega_k ((\mu-1)r+1 : \mu r) + y_\mu$$

Инициализация:

$$n, p; r = \frac{n}{p}; \mu;$$

$$col = (\mu-1)r+1 : \mu r;$$

left,right;

$A_{loc} = A(:, col)$, $x_{loc} = x(col)$, $y_{loc} = y(col)$.

Алгоритм:

```
w = A_loc*x_loc
for t = 1 : p
    send(w, right)
    recv(w, left)
    y_loc = y_loc + w(col)
end
```

Итого: p пересылок.

Можно уменьшить число коммуникаций на 1, сделав форик $t = 1:p - 1$ и добавив еще одну строчку перед ним:

```
w = A_loc*x_loc
y_loc = y_loc + w(col)
for t = 1 : p - 1
    send(w, right)
    recv(w, left)
    y_loc = y_loc + w(col)
end
```

15 Столбцово-ориентированные алгоритмы умножения матриц на кольце

Хотим посчитать

$$D = C + AB \quad (2.2)$$

$$A, B, C, D \in \mathbb{R}^{n \times n}$$

параллельно, то есть есть p процессоров, а ранг текущего — μ . На каждый процессор без ограничения общности выделим $r = \frac{n}{p}$ столбцов.

При этом всем, матрица у нас будет храниться по блочным столбцам, то есть

$$\left(\begin{array}{c|c|c|c} D_1 & D_2 & \dots & D_p \end{array} \right) = \left(\begin{array}{c|c|c|c} C_1 & C_2 & \dots & C_p \end{array} \right) + \\ + \left(\begin{array}{c|c|c|c} A_1 & A_2 & \dots & A_p \end{array} \right) \left(\begin{array}{c|c|c|c} B_1 & B_2 & \dots & B_p \end{array} \right) \quad (2.3)$$

Каждый процессор будет в итоге считать свой блочный столбец, то есть

$$D_\mu = C_\mu + AB_\mu = C_\mu + \sum_{k=1}^p A_k B_{k\mu} \quad (2.4)$$

Видно, что каждому процессору понадобится каждый блочный столбец A_k . Ими они и будут обмениваться этаким хороводиком. Приведем код алгоритма:

```
// инициализация
// индексы нашего столбца
col = (mu - 1) * r + 1 : mu * r
// блочные столбцы, которыми мы будем пользоваться
// результат положим в матрицу C
A_loc = A(:, col)
B_loc = B(:, col)
C_loc = C(:, col)
// индексы соседей
left = (mu - 2 + p) % p + 1
right = mu % p + 1

// вычисления
```

```
for t = 1 : p
    send(A_loc, right)
    recv(A_loc, left)
    // индекс блочного столбца, который сейчас лежит в A_loc
    tau = (mu - t - 1 + p) % p + 1
    // соответствующие ему строчные индексы
    row_tau = (tau - 1) * r + 1 : tau * r
    // изменяем ответ
    C_loc = C_loc + A_loc * B_loc(row_tau, :)
end
```

16 Строчно-ориентированные алгоритмы умножения матриц на кольце

(очень похоже на предыдущий вопрос)

Хотим посчитать

$$D = C + AB \quad (2.5)$$

$$A, B, C, D \in \mathbb{R}^{n \times n}$$

параллельно, то есть есть p процессоров, а ранг текущего — μ . На

каждый процессор без ограничения общности выделим $r = \frac{n}{p}$ строк.

При этом всем, матрица у нас будет храниться по блочным строкам, то есть

$$\begin{pmatrix} \frac{D_1}{D_2} \\ \vdots \\ \frac{D_p}{D_p} \end{pmatrix} = \begin{pmatrix} \frac{C_1}{C_2} \\ \vdots \\ \frac{C_p}{C_p} \end{pmatrix} + \begin{pmatrix} \frac{A_1}{A_2} \\ \vdots \\ \frac{A_p}{A_p} \end{pmatrix} \begin{pmatrix} \frac{B_1}{B_2} \\ \vdots \\ \frac{B_p}{B_p} \end{pmatrix} \quad (2.6)$$

Каждый процессор будет в итоге считать свою блочную строку, то есть

$$D_\mu = C_\mu + A_\mu B = C_\mu + \sum_{k=1}^p A_{k\mu} B_k \quad (2.7)$$

Видно, что каждому процессору понадобится каждая блочная строка B_k . Ими они и будут обмениваться этаким хороводиком. Приведем код алгоритма:

```
// инициализация
// индексы нашего столбца
row = (mu - 1) * r + 1 : mu * r
// блочные строки, которыми мы будем пользоваться
// результат положим в матрицу C
A_loc = A(row, :)
B_loc = B(row, :)
C_loc = C(row, :)
// индексы соседей
left = (mu - 2 + p) % p + 1
```

```
right = mu % p + 1

// вычисления
for t = 1 : p
    send(B_loc, right)
    recv(B_loc, left)
    // индекс блочной строки, который сейчас лежит в A_loc
    tau = (mu - t - 1 + p) % p + 1
    // соответствующие ей столбцовые индексы
    col_tau = (tau - 1) * r + 1 : tau * r
    // изменяем ответ
    C_loc = C_loc + A_loc(:, col_tau) * B_loc
end
```

17 Систолический алгоритм умножения матриц на торе

Основан на блочном скалярном произведении.

$$a = \alpha N + \beta, \text{ где все числа } \in \mathbb{N}_0, 0 \leq \beta < N.$$

Определим модуль a по N :

$$|a|_N = \begin{cases} \beta, \beta \neq 0 \\ N, \text{ else} \end{cases}$$

Инициализация:

$$p, N = \sqrt{p}, n, r = \frac{n}{N}, (\mu, \lambda) - \text{номер процессора};$$

$$C_{loc} = C_{\mu, \lambda} = C((\mu-1)r+1 : \mu r, (\lambda-1)r+1 : \lambda r)$$

$$A_{loc} = A_{\mu, \lambda}$$

Для процессоров: $\left(\begin{array}{c|c|c} 1,1 & 1,2 & 1,3 \\ \hline 2,1 & 2,2 & 2,3 \\ \hline 3,1 & 3,2 & 3,3 \end{array} \right)$ хранятся: $\left(\begin{array}{c|c|c} A_{11} & A_{12} & A_{13} \\ \hline A_{22} & A_{23} & A_{13} \\ \hline A_{33} & A_{31} & A_{32} \end{array} \right)$

Таким образом, в μ -ой строке происходит циклический сдвиг на $\mu-1$ влево.

$$B_{loc} = B_{\mu, \lambda}$$

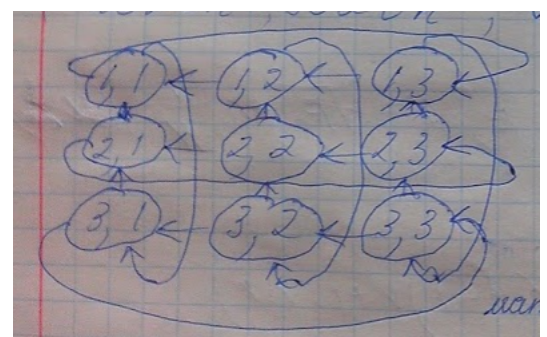
То есть для B сдвиг по столбцам на $\lambda-1$ вверх:

$$\left(\begin{array}{c|c|c} B_{11} & B_{22} & B_{33} \\ \hline B_{21} & B_{32} & B_{13} \\ \hline B_{31} & B_{12} & B_{23} \end{array} \right)$$

north, south, west, east.

(Инициализация закончилась).

Посыпаем блоки матрицы A с востока на запад, а матрицу B с юга на север.



Алгоритм:

```
for t = 1 :  $\sqrt{p}$ 
    send(A_loc, west)
    send(B_loc, north)
    recv(A_loc, east)
    recv(B_loc, south)
    C_loc = C_loc + A_loc * B_loc
end
```

Сравнивая данный алгоритм с предыдущим (алгоритмом на кольце), можно отметить значительно меньший объем коммуникаций при $N \rightarrow \infty$. Ранее приходилось передавать всю матрицу A (или B), в то время как в данном алгоритме мы пересылаем только строку A и столбец B .

18 Векторные и блочные алгоритмы решения треугольных СЛАУ

$$Lx = b, \quad L \in \mathbb{R}^{n \times n}, \quad x, b \in \mathbb{R}^{n \times 1}$$

$$\begin{pmatrix} l_{11} & & & \\ l_{12} & l_{22} & & \\ \vdots & \vdots & \ddots & \\ l_{1n} & l_{2n} & \dots & l_{nn} \end{pmatrix} \begin{pmatrix} x_1 \\ \vdots \\ x_n \end{pmatrix} = \begin{pmatrix} b_1 \\ \vdots \\ b_n \end{pmatrix}$$

$x_1 = b_1 / l_{11}$
 $x_2 = \frac{b_2 - l_{21}x_1}{l_{22}}$
 $x_i = \frac{b_i - \sum_{k=1}^{i-1} l_{ik}x_k}{l_{ii}}$

for $i = 2:n$
 $x(i) = b(i) - \sum_{j=1}^{i-1} l_{ij}x(j) / l_{ii}$

Алгоритм с замещением

$$\begin{cases} B(1) = B(1) / L(1,1) \\ \text{for } i = 2:n \\ \quad B(i) = (B(i) - L(i,1:i-1)B(1:i-1)) / L(i,i) \\ \text{end} \end{cases}$$

Делум умножение удаляется \rightarrow если матрица L хранится по строкам, то удалий алгоритм можно писать другой.

for $i = 2:n$
 $B(i) = B(i) - L(i,1:i-1)B(1:i-1)$

Последовательное найденное x_i на j -той итерации на $j+1$ -ной же ступени матрицы

$$\begin{pmatrix} l_{22} & & & \\ l_{32} & l_{33} & & \\ \vdots & \vdots & \ddots & \\ l_{n2} & l_{n3} & \dots & l_{nn} \end{pmatrix} \begin{pmatrix} x_2 \\ \vdots \\ x_n \end{pmatrix} = \begin{pmatrix} b_2 \\ \vdots \\ b_n \end{pmatrix} - \begin{pmatrix} b_{21} \\ \vdots \\ b_{n1} \end{pmatrix} x_1$$

следующий захру.

Алгоритм с замещением

$$\begin{cases} \text{for } j = 1:n-1 \\ \quad B(j) = B(j) / L(j,j) \\ \quad B(j+1:n) = B(j+1:n) - L(j+1:n,j)B(j) \\ \text{end} \\ B(n) = B(n) / L(n,n) \end{cases}$$

Следующий умножение:

$$\begin{cases} \text{for } j = 1:n-1 \\ \quad B(j+1:n) = B(j+1:n) - L(j+1:n,j)B(j) \\ \text{end} \end{cases}$$

Быстрый алгоритм решения СЛАУ:

$$LX = B, \quad L \in \mathbb{R}^{n \times n}, \quad X, B \in \mathbb{R}^{n \times d}, \quad L_{ij} \in \mathbb{R}^{d \times d}, \quad d = \frac{n}{N}, \quad x_i, b_i \in \mathbb{R}^{d \times 1}, \quad 1 \leq i \leq N$$

Алгоритм:

$$\begin{cases} \text{for } j = 1:N-1 \\ \quad L_{jj}x_j = B_j \\ \quad \text{for } i = j+1:N \\ \quad \quad B_i = B_i - L_{ij}x_j \quad - \text{удаление} \\ \quad \text{end} \end{cases}$$

"+" Оптимизирующие рабочие в каскадном

"+" первое основное выполнение может не операцию удаление матриц

19 Векторные алгоритмы LU-разложения на основе операции модификации матрицы внешним произведением

$$\begin{pmatrix} 1 & 0 \\ -\frac{x_2}{x_1} & 1 \end{pmatrix} \begin{pmatrix} x_1 \\ x_2 \end{pmatrix} = \begin{pmatrix} x_1 \\ 0 \end{pmatrix}$$

Первая матрица является матрицей преобразования. Ее 21 элемент является множителем Гаусса.

$$\begin{pmatrix} 1 & & 0 & & x_1 \\ & 1 & & 0 & \vdots \\ & & \ddots & & \vdots \\ & & & 1 & 0 \\ & & & & -\tau_{k+1}^{(k)} \\ & & & \vdots & \ddots \\ & & & -\tau_n^{(k)} & 1 \end{pmatrix} \begin{pmatrix} x_1 \\ x_k \\ x_{k+1} \\ \vdots \\ x_n \end{pmatrix} = \begin{pmatrix} x_1 \\ x_k \\ 0 \\ \vdots \\ 0 \end{pmatrix}$$

$$\tau^{(k)} = \begin{pmatrix} 0 \\ \vdots \\ 0 \\ \tau_{k+1}^{(k)} \\ \vdots \\ \tau_n^{(k)} \end{pmatrix}, \quad \tau_i^{(k)} = \frac{x_i}{x_k}, \quad i > k$$

$M_k = I - \tau^{(k)} e_k^T$, где e_k – нулевой вектор с единицей на k-ой позиции.

$$M_k A = A - \tau^{(k)} e_k^T A = A - \tau^{(k)} A(k,:)$$

$$(A) - \left(\begin{array}{c} 0 \\ \dots \end{array} \right) \quad \} k$$

$$\tau_i^{(k)} = \frac{A(i,k)}{A(k,k)}, \quad i > k$$

$$\tau^k A(k,:) = \begin{pmatrix} 0 \\ \hline A(k+1,k) \\ \dots \\ A(n,k) \end{pmatrix} \quad \} k$$

$$M_k A = \begin{pmatrix} A(1:k,:) \\ \hline 0 \\ \vdots \\ 0 \end{pmatrix} \quad \text{(образуются нули в k-ом столбце)}$$

$$M_1 A = \begin{pmatrix} & & \\ 0 & & \\ \vdots & & \\ 0 & & \end{pmatrix} M_2 M_1 A = \begin{pmatrix} 0 & & \\ \vdots & \ddots & \\ 0 & 0 & \end{pmatrix}$$

$$M_3 M_2 M_1 A = \begin{pmatrix} 0 & & \\ \vdots & \ddots & \\ 0 & 0 & 0 \end{pmatrix} = U$$

Алгоритм нахождения U:

```
for k = 1 : n - 1
    g(k + 1 : n) = A(k + 1 : n, k) / A(k, k)
    A(k + 1 : n, k + 1 : n) = A(k + 1 : n, k + 1 : n) -
        - g(k + 1 : n)A(k, k + 1 : n)
end
```

$$A = M_1^{-1} M_2^{-1} \dots M_{n-1}^{-1} U \Rightarrow L = M_1^{-1} \dots M_{n-1}^{-1}$$

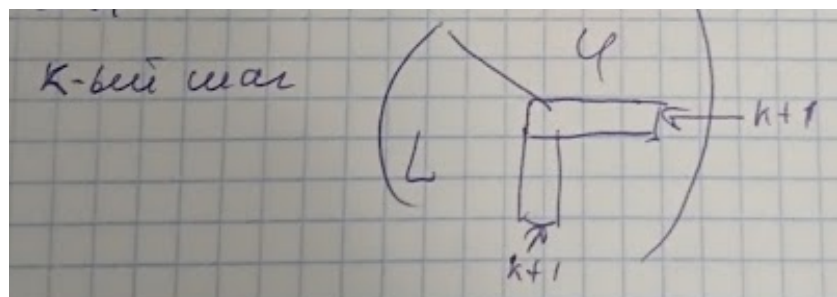
$$M_k^{-1} = I + \tau^{(k)} e_k^T$$

$$M_1^{-1} \dots M_{n-1}^{-1} = I + \sum_{k=1}^{n-1} \tau^{(k)} e_k^T = \begin{pmatrix} 1 & & & & 0 \\ \tau_2^{(1)} & 1 & & & \\ \vdots & & \ddots & & \\ \tau_n^{(1)} & \dots & \tau_n^{(n-1)} & 1 & \end{pmatrix}$$

На k-ой итерации находим k+1 строку U и записываем ее в верхний треугольник A.

Алгоритм LU:

```
for k = 1 : n - 1
    A(k + 1 : n, k) = A(k + 1 : n, k) / A(k, k)
    A(k + 1 : n, k + 1 : n) = A(k + 1 : n, k + 1 : n) -
        - A(k + 1 : n, k)A(k, k + 1 : n)
end
```



20 Гахру варианты LU-разложения

$A \in R^{n \times n}$, главные подматрицы $A(1:k, 1:k)$ невырождены для $k = 1:n-1$. $A = LU$, где L – нижняя унитреугольная матрица, а U – верхняя треугольная. Обе матрицы будем хранить в матрице A .

Положим, что за $j-1$ шаг найдены $j-1$ столбцы матриц L и U . На j шаге ищем j столбцы L и U . Выразим j столбец матрицы A :

$$A(:, j) = LU(:, j)$$

Выразим верхнюю и нижнюю часть столбца отдельно.

$$1. A(1:j-1, j) = L(1:j-1, :)U(:, j)$$

Так как $L(1:j-1, j:n) = 0$

$$A(1:j-1, j) = L(1:j-1, 1:j-1)U(1:j-1, j),$$

где неизвестное выделено жирным шрифтом и красным цветом (все остальное мы знаем). Значит изи пизи находим, решая СЛАУ

$$2. A(j:n, j) = L(j:n, :)U(:, j)$$

$$U(j+1:n, j) = 0$$

$$A(j:n, j) = L(j:n, 1:j)U(1:j, j) =$$

$$= \sum_{k=1}^j L(j:n, k)U(k, j) =$$

$$= \sum_{k=1}^{j-1} L(j:n, k)U(k, j) + L(j:n, j)U(j, j) =$$

$$= L(j:n, 1:j-1)U(1:j-1, j) + L(j:n, j)U(j, j)$$

Будем выражать неизвестное через некий вектор $v(j:n)$:

$$v(j:n) = A(j:n, j) - L(j:n, 1:j-1)U(1:j-1, j)$$

$$L(j, j)U(j, j) = v(j) \Rightarrow$$

$$U(j, j) = v(j), L(j+1:n, j) = v(j+1:n)/v(j, j)$$

Запишем наконец-то алгоритм.

1. Скалярный вариант

```
for j = 1 : n
    for k = 1 : j-1
        for i = k+1 : j-1
            A(i, j) = A(i, j) - A(i, k)A(k, j)
        end
    end
    for k = 1 : j-1
        for i = j : n
            A(i, j) = A(i, j) - A(i, k)A(k, j)
        end
    end
    for i = j+1 : n
        A(i, j) = A(i, j) / A(j, j)
    end
end
```

2. Векторный вариант

```
for j = 1 : n
    for k = 1 : j-1
        A(k+1 : j-1, j) = A(k+1 : j-1, j) - A(k+1 : j-1, k)A(k, j)
    end
    for k = 1 : j-1
        A(j : n, j) = A(j : n, j) - A(j : n, k)A(k, j)
    end
    A(j+1 : n, j) = A(j+1 : n, j) / A(j, j)
end
```

P.S. Алгоритмы взяты из Голуба и чутька редактированы. Все индексы соответствуют индексам Голуба.

21 Блочные алгоритмы LU-разложения

Блочное LU-разложение.

LU-разложение — представление матрицы A в виде произведения двух матриц, $A = LU$, где L — нижняя унитреугольная матрица, U — верхняя треугольная матрица.

Блочное LU-разложение матрицы A выглядит следующим образом:

$$\begin{pmatrix} A_{11} & A_{12} \\ A_{21} & A_{22} \end{pmatrix} = \begin{pmatrix} L_{11} & 0 \\ L_{21} & I_{n-r} \end{pmatrix} \begin{pmatrix} I_r & 0 \\ 0 & \tilde{A} \end{pmatrix} \begin{pmatrix} U_{11} & U_{12} \\ 0 & I_{n-r} \end{pmatrix};$$
$$A_{11}, L_{11}, I_r, U_{11} \in R^{nxn}, A_{21}, L_{21} \in R^{(n-r)xn};$$
$$A_{12}, U_{12} \in R^{rx(n-r)}, A_{22}, \tilde{A}, I_{n-r} \in R^{(n-r)x(n-r)},$$

Где r — блочный параметр.

Произведём операцию умножения для трёх матриц, которые выше. Получим:

$$A = \begin{pmatrix} L_{11}U_{11} & L_{11}U_{12} \\ L_{21}U_{11} & L_{21}U_{12} + \tilde{A} \end{pmatrix} = \begin{pmatrix} A_{11} & A_{12} \\ A_{21} & A_{22} \end{pmatrix};$$

Значит можно записать следующим образом:

- 1) $A_{11} = L_{11}U_{11}$;
- 2) $A_{12} = L_{11}U_{12}$;
- 3) $A_{21} = L_{21}U_{11}$;
- 4) $A_{22} = L_{21}U_{12} + \tilde{A}$.

Применяем рекурсивно алгоритм:

- 1) Блоки L_{11} и U_{11} найдем, применив стандартный метод Гаусса для разложения блока A_{11} .
- 2) Затем найдём блоки U_{12} и L_{21} решив треугольные системы с несколькими правыми частями.
- 3) После этого находим редуцированную матрицу $\tilde{A} = A_{22} - L_{21}U_{12}$.

Ещё алгоритмы, но подробно как они работают хз. Взято из Голуба страницы 99- 100:

Алгоритм 3.2.5 (Блочная версия LU-разложения с внешним произведением). Пусть $A \in \mathbb{R}^{n \times n}$ и главные подматрицы $A(1:k, 1:k)$ невырождены для $k = 1:n - 1$. Предположим, что r удовлетворяет условию $1 \leq r \leq n$. Следующий алгоритм вычисляет разложение $A = LU$ посредством r -ранговой модификации. Причем элементы $A(i, j)$ замещаются на элементы $L(i, j)$ при $i > j$ и элементы $A(i, j)$ замещаются на $U(i, j)$ при $j \geq i$.

```

 $\lambda = 1$ 
while  $\lambda \leq n$ 
     $\mu = \min(n, \lambda + r - 1)$ 
    Используется алгоритм 3.2.3 для замещения  $A(\lambda:\mu, \lambda:\mu) = \tilde{L}\tilde{U}$  на  $\tilde{L}$  и  $\tilde{U}$ .
    Решаем:  $\tilde{L}Z = A(\lambda:\mu, \mu + 1:n)$ . Замещаем:  $A(\lambda:\mu, \mu + 1, n) \leftarrow Z$ 
    Решаем:  $W\tilde{U} = A(\mu + 1:n, \lambda:\mu)$ . Замещаем:  $A(\mu + 1:n, \lambda:\mu) \leftarrow W$ 
     $A(\mu + 1:n, \mu + 1:n) = A(\mu + 1:n, \mu + 1:n) - WZ$ 
     $\lambda = \mu + 1$ 
end
```

Алгоритм требует $2n^3/3$ флопов.

Алгоритм 3.2.6 (Блочная гахру-версия LU-разложения). Пусть матрица $A \in \mathbb{R}^{n \times n}$ имеет ненулевые главные миноры $A(1:k, 1:k)$ для $k = 1:n - 1$. И пусть целочисленный параметр r удовлетворяет соотношению $1 \leq r \leq n$. Тогда следующий алгоритм вычисляет разложение $A = LU$ посредством r -ранговой модификации. На выходе $A(i, j)$ замещаются на $L(i, j)$ для $i > j$ и $A(i, j)$ замещаются на $U(i, j)$ для $j \geq i$.

```

 $\lambda = 1$ 
while  $\lambda \leq n$ 
     $\mu = \min(n, \lambda + r - 1)$ 
     $r_1 = \mu - \lambda + 1$ 
    Выполняем  $r_1$  шагов алгоритма 3.2.4 для  $A(\lambda:n, \lambda:n)$ 
    Замещаем  $A(\lambda:\mu, \mu + 1:n)$  в соответствии с решением
         $A(\lambda:\mu, \lambda:\mu)Z = A(\lambda:\mu, \mu + 1:n)$ 
         $A(\mu + 1:n, \mu + 1:n) = A(\mu + 1:n, \mu + 1:n) - A(\mu + 1:n, \lambda:\mu)A(\lambda:\mu, \mu + 1:n)$ 
     $\lambda = \mu + 1$ 
end
```

Алгоритм требует $2n^3/3$ флопов.

Алгоритмы 3.2.3 и 3.2.4 (они используются в этих алгоритмах):

Алгоритм 3.2.3 (Исключение Гаусса с внешним произведением). Предположим, что матрица $A \in \mathbb{R}^{n \times n}$ обладает таким свойством, что подматрицы $A(1:k, 1:k)$ невырождены для $k = 1:n - 1$. Данный алгоритм вычисляет разложение $M_{n-1} \dots M_1 A = U$, где матрица U является верхней треугольной, а каждая матрица M_k – это матрица преобразования Гаусса. Матрица U хранится в верхнем треугольнике матрицы A . Множители, задающие матрицы M_k , запоминаются в элементах $A(k+1:n, k)$, т. е. $A(k+1:n, k) = -M_k(k+1:n, k)$.

```

for  $k = 1:n - 1$ 
     $t = \text{gauss}(A(k:n, k))$ 
     $A(k+1:n, k) = t$ 
     $A(k:n, k+1:n) = \text{gauss.app}(A(k:n, k+1:n, t))$ 
end
```

Этот алгоритм требует $(2/3)n^3$ флопов и является классической формулировкой метода исключения Гаусса. Заметим, что каждое прохождение через k -цикл реализует внешнее произведение.

Алгоритм 3.2.4. (Гахру-версия исключения Гаусса). Пусть матрица $A \in \mathbb{R}^{n \times n}$ и главные подматрицы $A(1:k, 1:k)$ невырождены для $k = 1:n - 1$. Данный алгоритм вычисляет разложение $A = LU$, где L – нижняя унитреугольная матрица, а U – верхняя треугольная. Если $i > j$, то элементы $A(i, j)$ содержат элементы $L(i, j)$. Если $i \leq j$, то элементы $A(i, j)$ содержат элементы $U(i, j)$.

```

for  $j = 1:n$ 
    {Решить  $L(1:j - 1, 1:j - 1)U(1:j - 1, j) = A(1:j - 1, j)$ }
    for  $k = 1:j - 1$ 
        for  $i = k + 1:j - 1$ 
             $A(i, j) = A(i, j) - A(i, k)A(k, j)$ 
        end
    end
     $\{v(j:n) = A(j:n, j) - L(j:n, 1:j - 1)U(1:j - 1, j)\}$ 
    for  $k = 1:j - 1$ 
        for  $i = j:n$ 
             $A(i, j) = A(i, j) - A(i, k)A(k, j)$ 
        end
    end
     $\{L(j + 1:n, j) = v(j + 1:n)/v(j)\}$ 
     $A(j + 1:n, j) = A(j + 1:n, j)/A(j, j)$ 
end
```

Этот алгоритм требует $2n^3/3$ флопов.

22 Векторные алгоритмы разложения Холецкого на основе операции модификации матрицы внешним произведением

4.2.5. Метод Холецкого с внешним произведением

Альтернативная процедура Холецкого, основанная на модификации с внешним произведением, может быть получена из следующего разбиения:

$$A = \begin{bmatrix} a & v^T \\ v & B \end{bmatrix} = \begin{bmatrix} \beta & 0 \\ v/\beta & I_{n-1} \end{bmatrix} \begin{bmatrix} 1 & 0 \\ 0 & B - vv^T/a \end{bmatrix} \begin{bmatrix} \beta & v^T/\beta \\ 0 & I_{n-1} \end{bmatrix}. \quad (4.2.6)$$

Здесь $\beta = \sqrt{a}$ и мы знаем, что $a > 0$, потому что A положительно определена. Заметим, что $B - vv^T/a$ тоже положительно определена, потому что она является главной подматрицей матрицы X^TAX , где

$$X = \begin{bmatrix} 1 & -v^T/a \\ 0 & I_{n-1} \end{bmatrix}.$$

Таким образом, если мы имеем разложение Холецкого $G_1 G_1^T = B - vv^T/a$, то из формулы (4.2.6) следует, что $A = GG^T$, где

$$G = \begin{bmatrix} \beta & 0 \\ v/\beta & G_1 \end{bmatrix}.$$

Далее наша цель – многократно выполнить разбиение (4.2.6) до предельно маленьких подматриц, почти так же, как в kji -алгоритме исключения Гаусса. Если мы замещаем нижнюю треугольную часть матрицы A на матрицу G , то получается

Алгоритм 4.2.2 (Метод Холецкого: версия с внешним произведением). Данна симметричная положительно определенная матрица $A \in \mathbb{R}^{n \times n}$; следующий алгоритм вычисляет нижнюю треугольную матрицу $G \in \mathbb{R}^{n \times n}$, такую, что $A = GG^T$. Для всех $i \geq j$ $G(i, j)$ замещает $A(i, j)$.

```

for  $k = 1:n$ 
     $A(k, k) = \sqrt{A(k, k)}$ 
     $A(k+1:n, k) = A(k+1:n, k)/A(k, k)$ 
    for  $j = k+1:n$ 
         $A(j:n, j) = A(j:n, j) - A(j:n, k)A(j, k)$ 
    end
end
```

Алгоритм требует $n^3/3$ флопов. Заметим, что j -цикл вычисляет нижнюю треугольную часть модификации с внешним произведением

$$A(k+1:n, k+1:n) = A(k+1:n, k+1:n) - A(k+1:n, k)A(k+1:n, k)^T.$$

Возвращаясь к нашим рассуждениям в § 1.4.8 о сравнении гахру-версии и модификации с внешним произведением, можно легко показать, что алгоритм 4.2.1 осуществляет в два раза меньший векторный обмен, чем алгоритм 4.2.2.

23 Гахру варианты разложения Холецкого

4.2.4. Гахру-версия метода Холецкого

Сначала мы получим реализацию метода Холецкого, богатую операциями типа гахру. Если мы сравним j -е столбцы в уравнении $A = GG^T$, то мы получим

$$A(:, j) = \sum_{k=1}^j G(j, k) G(:, k).$$

Отсюда следует, что

$$G(j, j) G(:, j) = A(:, j) - \sum_{k=1}^{j-1} G(j, k) G(:, k) \equiv v. \quad (4.2.5)$$

Если мы знаем $(j-1)$ первых столбцов матрицы G , то может быть вычислен вектор v . Отсюда через сравнение компонент в формуле (4.2.5) следует, что $G(j:n, j) = v(j:n)/\sqrt{v(j)}$. Это и есть скалярная операция гахру, и поэтому мы получаем следующий метод, основанный на гахру-операции для вычисления разложения Холецкого:

```

for  $j = 1:n$ 
     $v(j:n) = A(j:n, j)$ 
    for  $k = 1:j-1$ 
         $v(j:n) = v(j:n) - G(j, k) G(j:n, k)$ 
    end
     $G(j:n, j) = v(j:n)/\sqrt{v(j)}$ 
end

```

Вычисления можно организовать так, что G замещает нижние треугольные матрицы A .

Алгоритм 4.2.1 (Метод Холецкого: Гахру-версия). При данной симметричной положительно определенной матрице $A \in \mathbb{R}^{n \times n}$ следующий алгоритм вычисляет нижнюю треугольную матрицу $G \in \mathbb{R}^{n \times n}$, такую, что $A = GG^T$. Для всех $i \geq j$ $G(i, j)$ замещает $A(i, j)$.

```

for  $j = 1:n$ 
    if  $j > 1$ 
         $A(j:n, j) = A(j:n, j) - A(j:n, 1:j-1) A(1:j-1, j)^T$ 
    end
     $A(j:n, j) = A(j:n, j)/\sqrt{A(j, j)}$ 
end

```

Алгоритм требует $n^3/3$ флоков.

Пример 4.2.1. Матрица

$$\begin{bmatrix} 2 & -2 \\ -2 & 5 \end{bmatrix} = \begin{bmatrix} 1 & 0 \\ -1 & 1 \end{bmatrix} \begin{bmatrix} 2 & 0 \\ 0 & 3 \end{bmatrix} \begin{bmatrix} 1 & -1 \\ 0 & 1 \end{bmatrix} = \begin{bmatrix} \sqrt{2} & 0 \\ -\sqrt{2} & \sqrt{3} \end{bmatrix} \begin{bmatrix} \sqrt{2} & -\sqrt{2} \\ 0 & \sqrt{3} \end{bmatrix}$$

является положительно определенной.

24 Блочные алгоритмы разложения Холецкого

1. На скалярном произведении

Пусть $A \in \mathbf{R}^{n \times n}$ – симметричная положительно определенная матрица. Будем рассматривать матрицу $A = (A_{ij})$ и ее множители Холецкого $G = G_{ij}$ как блочные $N \times N$ -матрицы с квадратными диагональными блоками. Приравнивая (i, j) -е блоки из уравнения $A = GG^T$ при $i \geq j$, мы получаем, что $A_{ij} = \sum_{k=1}^{j-1} G_{ik} G_{jk}^T$. Обозначив

$$S = A_{ij} - \sum_{k=1}^{j-1} G_{ik} G_{jk}^T,$$

мы видим, что $G_{jj}G_{jj}^T = S$, если $i = j$, и $G_{ij}G_{jj}^T = S$, если $i > j$. При правильном упорядочивании эти уравнения могут быть использованы для вычисления всех матриц G_{ij} .

Алгоритм 4.2.3 (Метод Холецкого: блочная версия со скалярным произведением). Данна симметричная положительно определенная матрица $A \in \mathbf{R}^{n \times n}$; следующий алгоритм вычисляет нижнюю треугольную матрицу $G \in \mathbf{R}^{n \times n}$, такую, что $A = GG^T$. Нижний треугольник матрицы A замещается на нижнюю треугольную часть матрицы G . Матрица A рассматривается как блочная $N \times N$ -матрица с квадратными диагональными блоками.

```

for  $j = 1:N$ 
    for  $i = j:N$ 
         $S = A_{ij} - \sum_{k=1}^{j-1} G_{ik} G_{jk}^T$ 
        if  $i = j$ 
            Вычислить разложение Холецкого  $S = G_{jj}G_{jj}^T$ .
        else
            Решить  $G_{ij}G_{jj}^T = S$  относительно  $G_{ij}$ .
        end
        Выполнить замещение  $A_{ij}$  на  $G_{ij}$ .
    end
end
```

2. Головашкинский

$$\begin{pmatrix}
 A_{11} & (A_2)^T \\
 A_{21} & A_{22}
 \end{pmatrix} =
 \begin{pmatrix}
 G_{11} & \boxed{0} \\
 G_{21} & I_{n-r}
 \end{pmatrix}
 \begin{pmatrix}
 I_r & \boxed{0} \\
 \boxed{0} & \tilde{A}
 \end{pmatrix}
 \begin{pmatrix}
 (G_{11})^T & (G_{21})^T \\
 0 & I_{n-r}
 \end{pmatrix}$$

$$\begin{pmatrix}
 G_{11} & \boxed{0} \\
 G_{21} & \tilde{A}
 \end{pmatrix}
 \begin{pmatrix}
 G_{11}G_{11}^T & G_{11}G_{21}^T \\
 G_{21}G_{11}^T & G_{21}(G_{21}^T + \tilde{A})
 \end{pmatrix}$$

Шаг 1: ищем разложение Холецкого блока A_{11} и находим $G_{11}: A_{11} = G_{11}G_{11}^T$

Шаг 2: решаем систему $G_{21}G_{11}^T = A_{21}$

Шаг 3: $\tilde{A} = A_{22} - G_{21}G_{21}^T$, принимаем $A = \tilde{A}$ и возвращаемся к шагу 1.

3. Gaxpy

Другая блочная процедура может быть получена из гахру-алгоритма Холецкого. Через r шагов алгоритма 4.2.1 нам известны матрицы $G_{11} \in \mathbb{R}^{r \times r}$ и $G_{21} \in \mathbb{R}^{(n-r) \times r}$ в разложении

$$\begin{bmatrix} A_{11} & A_{12} \\ A_{21} & A_{22} \end{bmatrix} = \begin{bmatrix} G_{11} & 0 \\ G_{21} & I_{n-r} \end{bmatrix} \begin{bmatrix} I_r & 0 \\ 0 & \tilde{A} \end{bmatrix} \begin{bmatrix} G_{11} & 0 \\ G_{21} & I_{n-r} \end{bmatrix}^T.$$

После r шагов гахру-версии Холецкого мы преобразуем уже не матрицу A , а редуцированную матрицу $\tilde{A} = A_{22} - G_{21}G_{21}^T$, которую получили явно с учетом симметрии. Продолжая этот подход, мы получим блочный алгоритм Холецкого, k -й шаг которого содержит r шагов гахру-версии Холецкого для матрицы порядка $n - (k-1)r$, следовательно, вычисления 3-го уровня имеют порядок $n - kr$. Вклад операций 3-го уровня аппроксимируется соотношением $1 - 3/(2N)$, если $n \approx rN$.

Алгоритм 4.2.1 (Метод Холецкого: Gaxpy-версия). При данной симметричной положительно определенной матрице $A \in \mathbb{R}^{n \times n}$ следующий алгоритм вычисляет нижнюю треугольную матрицу $G \in \mathbb{R}^{n \times n}$, такую, что $A = GG^T$. Для всех $i \geq j$ $G(i, j)$ замещает $A(i, j)$.

```

for  $j = 1:n$ 
  if  $j > 1$ 
     $A(j:n, j) = A(j:n, j) - A(j:n, 1:j-1)A(j, 1:j-1)^T$ 
  end
   $A(j:n, j) = A(j:n, j)/\sqrt{A(j, j)}$ 
end

```

25 Алгоритм LU-разложения на процессорном кольце

26 Алгоритм разложения Холецкого на процессорном кольце

§1. ~~Основ.~~ алгоритм разлож. Холецкого на кольце
Основой паралл. алг. будем. Конечный через шаги.

Приближенно, пусть $p = n$, $\mu \sim G(\mu:n, \mu)$

$$\sum_{k=1}^{\mu-1} G(\mu:n, k) G(\mu, k)$$

минимизация $\{n, p=n, \mu. A_{loc} = A(\mu:n, right, left)\}$

for $k = 1 : \mu-1$

recv ($g(k:n)$, left)

~~send~~ if $\mu \neq p$ then send ($g(k:n)$, right) end

$$A_{loc}'(\mu:n) = A_{loc}(\mu:n) - g(\mu:n) g(\mu)$$

end

$$A_{loc}(\mu:n) = A_{loc}(\mu:n) / \sqrt{A_{loc}(\mu)}$$

if $\mu \neq p$ then send ($A_{loc}(\mu:n)$, right)

При кумулятивном разложении μ просессоры получают

$\mu, \mu+p, \mu+2p, \dots$ синхронизируются

$$\begin{array}{c}
 \left(\begin{array}{cccccc} 1 & 2 & \dots & 10 & 11 \end{array} \right) \\
 \downarrow \\
 \text{анод. инк.} \left(\begin{array}{ccccc} 1 & 4 & 7 & 10 \\ 1 & 2 & 3 & 5 \end{array} \right) \quad \xrightarrow{\Delta} \quad \left(\begin{array}{ccccc} 2 & 5 & 8 & 11 \\ 1 & 2 & 3 & 4 \end{array} \right) \quad \left(\begin{array}{ccc} 3 & 6 & 9 \\ 1 & 2 & 3 \end{array} \right)
 \end{array}$$

uniques. mazayut $\{n, p, M, \text{ col} = \mu : p : n,$
 $L = \text{length}(\text{col}), A_{\text{loc}}(1:n, 1:L) = A(1:n, \text{col})$
 left, right }

$j = 1; l = 1;$

while $l \leq L$ do

if $j = \text{col}(l)$ then \rightarrow (cloga borigim
 $A_{\text{loc}}(j:n, l) = A_{\text{loc}}(j:n, l) /$ morono ogum
 $\underbrace{\text{A}_{\text{loc}}(j:l)}_{\text{yax, xpan.}} \text{A}(:, j)$

if $j < n$ then send ($A_{\text{loc}}(j:n, l), \text{right}$) end
 for $k = l+1:L$

$r = \text{col}(k)$

$A_{\text{loc}}(r:n, k) = A_{\text{loc}}(r:n, k) - A_{\text{loc}}(r:n, l) \cdot A_{\text{loc}}(l, r)$

end

$j = j+1; l = l+1;$

else

recv ($g(j:n), \text{left}$)

if ($\text{right} \neq \alpha$) $\beta \gg j$ then

send ($g(j:n), \text{right}$)

end

for $k = l:L$

$r = \text{col}(k)$

$A_{\text{loc}}(r:n, k) = A_{\text{loc}}(r:n, k) - g(r:n) g(k)$
 end,
 $j = j + 1$

end

end

27 Алгоритм разложения Холецкого на процессорной решетке

За основу данного алгоритма взят алгоритм разложения Холецкого через модификацию матрицы внешним произведением. Для упрощения не будем учитывать симметричность. Тогда алгоритм можно записать:

```
for k = 1:n
    A(k,k) = sqrt(A(k,k)) // (1)
    A(k+1:n , k) = A(k+1:n , k) / A(k,k) // (2)
    A(k , k+1:n) = A(k , k+1:n) / A(k,k) // (3)
    A(k+1:n , k+1:n) = A(k+1:n , k+1:n) - A(k+1:n , k)*A(k , k+1:n) // (4)
endfor
```

Положим, что количество процессоров равно количеству элементов матрицы. Тогда каждый процессор выполняет помимо передачи и приема данных одно из следующих действий:

Извлечь корень (Если обрабатывается элемент на главной диагонали, в алгоритме выше действие (1))

Произвести деление(Если обрабатывается элемент не на главной диагонали, в алгоритме выше это действия (2), (3))

Модификация матрицы (Действие (4))

$$\begin{pmatrix} 0 & 0 & 0 & 0 & \dots & 0 \\ 0 & 1 & 1 & 1 & \dots & 1 \\ 0 & 1 & 2 & 2 & \dots & 2 \\ & \dots & & & & \\ 0 & 1 & 2 & 3 & \dots & n \end{pmatrix}$$
 – количество модификаций, которое сделает процессор перед выполнением деления или извлечения корня.

Алгоритм.

```
Инициализация { $(i, j)$  – номер процессора ;  $p$  – количество процессоров ;
 $p = n^2$  ;  $north, south, west, east$  – соседи ;  $a_{loc} = A(i, j)$ }
 $k = 1$ 
while  $k < min(i, j)$ 
    recv( $a_{north}, north$ ) ; recv( $a_{west}, west$ )
    if  $i < n$ 
        send( $a_{north}, south$ )
    endif
    if  $j < n$ 
        send( $a_{west}, east$ )
    endif
```

```

 $a_{loc} = a_{loc} - a_{north}a_{west}$ 
 $k = k + 1$ 
endwhile
if  $i == j$ 
     $a_{loc} = \sqrt{a_{loc}}$ 
    if  $i < n$ 
         $send(a_{loc}, south); send(a_{loc}, east)$ 
    endif
elseif  $i < j$ 
     $recv(a_{west}, west)$ 
    if  $j < n$ 
         $send(a_{west}, east)$ 
    endif
     $a_{loc} = a_{loc}/a_{west}$ 
     $send(a_{loc}, south)$ 
elseif  $i > j$ 
     $recv(a_{north}, north)$ 
    if  $i < n$ 
         $send(a_{north}, south)$ 
    endif
     $a_{loc} = a_{loc}/a_{north}$ 
     $send(a_{loc}, east)$ 
endif

```

28 Алгоритм LU-разложения на процессорной решетке

% алгоритм разрещения LU

```
-while k < min {i, j} do
    recv (Anorth, north)
    recv (Awest, west)
    if i ≠ n then send (Anorth, south) // для цикла
    if j ≠ n then send (Awest, east)
    Aloc = Aloc - Anorth · Awest
    k = k + 1
endwhile

if i = j then
    if i ≠ n then
        send (Aloc, south)
    end
end

if i > j then
    recv (Anorth, north);
    if i ≠ n then send (Anorth, south); // для цикла
    Aloc = Aloc / Anorth
    send (Aloc, East);
end

if j > i then
    recv (Awest, west);
    if j ≠ n then send (Awest, east)
    Aloc = Aloc / Awest;
    send (Aloc, south);
end
```

